

دراسة خطر الانجراف المائي لتراب حوض سد 16 تشرين في محافظة اللاذقية باستخدام تقنيات نظم المعلومات الجغرافية GIS

الدكتورة منى بركات*

الدكتورة أيلين محفوظ**

أيمن عبد اللطيف كوييس***

(تاریخ الإیادع 11 / 3 / 2013 . قبل للنشر في 16 / 5 / 2013)

□ ملخص □

يعد الانجراف المائي للتربة من أبرز المشاكل البيئية التي تتعرض لها ترب الساحل السوري وخصوصا الترب المحيطة بالمستجمعات المائية في محافظة اللاذقية. وتتأثر شدة الانجراف بكل من خواص التربة، درجة الميل، الغطاء النباتي والشدة المطرية .. الخ

اجريت الدراسة في منطقة حوض سد 16 تشرين بهدف إنشاء خريطة خطر الانجراف المائي لحوض السد من أجل تحديد درجة خطورة الانجراف المائي للمناطق الواقعة ضمن نطاق التأثير في حوض السد وتصنيفها بالاعتماد على نموذج كورين.

تم تحديد صفات كل من (قوام التربة، النسبة المئوية للحصى، عمق التربة) لحساب دليل قابلية التربة للانجراف، وتم إعداد خريطة لعامل قابلية التربة للانجراف باستخدام برنامج ArcGIS 10 وحددت صفات كل من درجة الميل وعامل الحت المطري وتم دمجها بصفات عامل قابلية التربة للانجراف ورسمت خريطة خطر الانجراف المحتمل. أنشئت خريطة خطر الانجراف الفعلي بعد تحديد صفات الغطاء النباتي ودمجها بصفات خطر الانجراف المحتمل، حيث بلغت(33.63,46.15,33.87) لصفات منخفض، متوسط وشديد على التوالي من المساحة المدروسة. كما أظهرت النتائج أن استخدام نموذج CORINE وتقنيات نظم المعلومات الجغرافية وبرامج الحاسوب ArcGIS وسيلة فعالة في دراسة خطر الانجراف فهي تمكننا من إنشاء خريطة لخطر الانجراف المائي للتربة بشكل سريع وبتكلفة أقل.

الكلمات المفتاحية : خطر الانجراف المائي للتربة - نظم المعلومات الجغرافية - حوض سد 16 تشرين - نموذج كورين .

* أستاذ - قسم علوم التربية والمياه، كلية الزراعة - جامعة تشرين - اللاذقية - سوريا.

** مدرس - قسم الحراج والبيئة - كلية الزراعة - جامعة تشرين - اللاذقية - سوريا.

*** طالب دراسات عليا (دكتوراه) - قسم علوم التربية والمياه - كلية الزراعة - جامعة تشرين - اللاذقية - سوريا.

Study of the soil water erosion in the basin of 16 Tishreen Dam in the province of Lattakia using Geographic Information System techniques (GIS)

Dr.Mona Barakat*
Dr. Ileen Mahfood**
Aymen A. Al-Kwyes***

(Received 11 / 3 / 2013. Accepted 16 / 5 /2013)

□ ABSTRACT □

Soil water erosion is the most prominent environmental risk facing Syrian costal soils, especially from locations surrounding water basin. The severity of soil water erosion is greatly influenced by soil properties, slope, climate, and vegetation and Rainfall intensity.

This study aims to establish a risk map for soil water erosion in the Sixteen Tishreen basin area in the province of Lattakia to determine and classify the degree of risk for soil water erosion for locations in the study area according to Coordination of Information on the Environment (CORINE) Model.

Collected samples were located using GIS technique and data regarding soil texture, slope and soil depth were classified to calculate the viability for soil erosion. A map for the Erodibility of soil erosion was then established using ArcGIS 10 on which grouped degree of slopes and Erosivity index were superimposed, along with class of soil Erodibility index, in order to establish a map for soil erosion risk.

The actual soil erosion risk map was then established as a result of incorporating grouped vegetation covers with grouped potential erosion risks. Values for actual soil erosion risks were 33.87, 46.15, and 33.63 for low, intermediate and high, respectively in the studied area. It can be concluded that using CORINE model, GIS technique and ArcGIS software is an effective tool to investigate and establish a map that determines the risk for soil water erosion quickly with minimum cost.

Keyword: Risk Water erosion, Geographic information system, Basin of 16Tishreen Dam, CORINE

* professor at Soil Science and Water Department ,Faculty of Agriculture, Tishreen University, Lattakia ,Syria

** Assistant professor,at Forsty and Ecology Department ,Faculty of Agriculture, Tishreen University, Lattakia ,Syria

*** Postgraduate student, at Soil Science and Water Department ,Faculty of Agriculture, Tishreen University, Lattakia ,Syria

مقدمة:

الانجراف المائي water erosion هو محصلة التداخل الحاصل بين عامل التربة وعامل المطر (Fiener & Auerswald, 2007) وهو مشكلة كبرى للإنتاج الزراعي لأنه يسبب فقد العناصر الخصوبية في التربة والحيويات الناعمة في التربة (الأمر الذي يؤدي إلى انخفاض القدرة الإنتاجية للتربة وبالتالي خروجها من طور Tingting et al., 2008).

لابدّي الانجراف المائي إلى تدهور التربة فقط بل يعمل على تلوث المسطحات المائية، حيث تصل نواتج انجراف التربة إلى الأحواض المائية المغلقة وتسبب ظاهرة Eutrophication، مما يشجع على نمو الطحالب ونشاط العمليات الحيوية غير الهوائية الامر الذي يؤدي إلى تراكم المواد السامة والضارة في الكائنات الحية. كما تقل نسبة الأوكسجين فتموت النباتات الصغيرة والأسماك وتصبح المياه غير صالحة للاستعمال بكافة المجالات، وتفقد تلك الأحواض المائية أهميتها الحيوية والصناعية (Schiettectte, 2007) مما يؤدي إلى فقدان أهم مصدرين ضروريين لاستمرار البشرية وهما الماء والتربة، لذا يعتبر تقييم وتحديد خطورة الانجراف المائي أمراً هاماً وضرورياً من أجل وضع استراتيجيات خاصة لصيانة كل من التربة والمياه.

إن الاعتماد على النماذج الفيزيائية في تقدير الانجراف المائي يحتاج إلى العديد من المؤشرات لذا فإن استخدام النماذج التجريبية في هذا المجال سيكون الأفضل والأكثر أهمية (Yuksel et al., 2008) فهي تسمح بتقدير الانجراف على مساحات واسعة وبجهد وكلفة أقل.

يعتبر استخدام نظم المعلومات الجغرافية لتقييم خط انجراف التربة وسيلة فعالة وأنثبتت نجاحها في كثير من بلدان العالم (Aydin et al., 2010) لأنها تمكننا من الحصول على قاعدة بيانات واسعة تساعد في تحديد خطورة الانجراف المائي للتربة ومن ثم تحديد الإجراءات المستقبلية لحمايتها (Van Rompaey et al., 2003).

ان العوامل التي تؤثر على انجراف التربة متعددة لكن معظم الباحثين ركزوا على درجة الميل، قابلية التربة للانجراف، الغطاء النباتي بالإضافة إلى كمية الهطول المطري والشدة المطالية (Wawer & Nowocien, 2007). يؤثر بشكل كبير على معدل الارتشاح وعلى مقاومة حبيبات التربة للتفكك والانفصال والانتقال (Mulder et al., 2011). حيث يبدأ انجراف التربة بالظهور عندما يتدهور البناء الذي يرتبط ارتباطاً وثيقاً بكل من قوام التربة ومحتوها من المادة العضوية ونوع الكاتيونات السائدة على معدن ادمصاص التربة (Ben-hur, 2001).

تلعب الظروف المناخية دوراً كبيراً بالإضافة إلى خواص التربة في عملية الانجراف المائي للتربة، والأكثر تأثيراً هو معدل الهطول السنوي والشدة المطالية واستمراريتها حيث تعمل طاقة المطر الساقطة على تحطيم تجمعات التربة ومن ثم نقلها من منطقة تواجدها إلى مناطق أخرى حسب درجة انحدار الأرض (Dongli et al., 2010).

ان تقييم خط انجراف التربة بهدف الإدارة المستدامة للمستجمعات المائية واتخاذ الإجراءات المناسبة لصيانة التربة عن طريق استخدام النماذج التجريبية يقدم لاحقاً فوائد كثيرة لأنها تزودنا بالدلائل التي تؤدي في تحديد درجة خط انجراف التربة في المنطقة. على الرغم من أن خط انجراف التربة المحتمل potential soil erosion risk لا يأخذ بعين الاعتبار استعمالات الأرضي وطبيعة الغطاء النباتي لكنه يقدم فوائد كثيرة إذ يحدد قيمة خط انجراف التربة في حالة حصول زوالاً للغطاء النباتي بسبب مشاكل محتملة كحدوث حرائق الغابات أو عملية قطع الاشجار بشكل جائز (Aydin et al., 2010).

هناك نماذج وطرق كثيرة يمكن من خلالها التنبؤ بخطر انجراف التربة او ما يسمى خطر انجراف التربة المحتمل، سيعتمد في هذه الدراسة على احد هذه النماذج وهو تنسيق المعلومات البيئية او ما يسمى بنموذج كوربين COoRdination of Information on the Environment. (CORINE)

أهمية البحث وأهدافه :

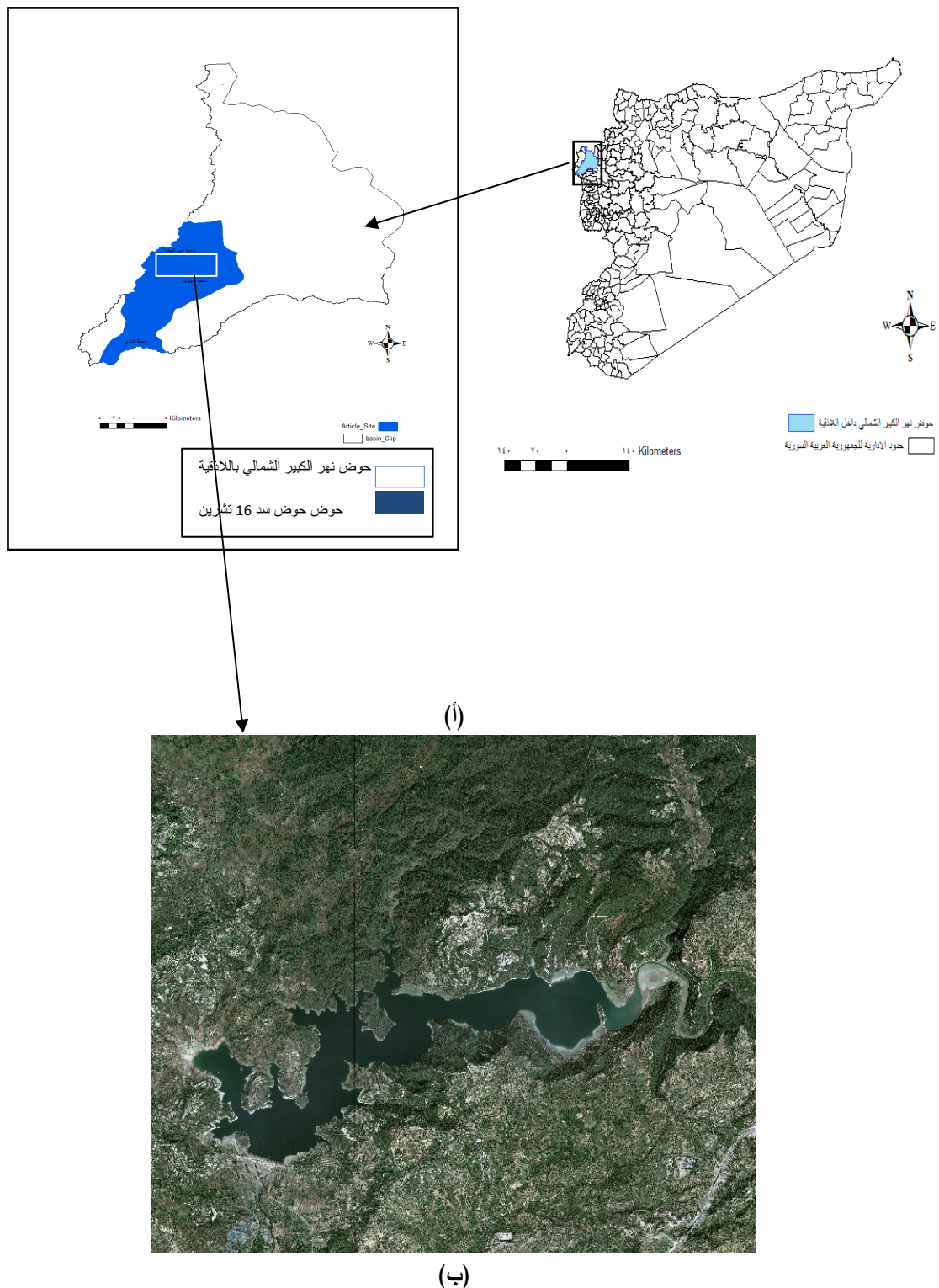
يعد الانجراف المائي للتراب مشكلة خطيرة في المنطقة الساحلية بشكل عام وفي حوض سد 16 تشرين بشكل خاص بسبب الحساسية العالية لترية الموضع للانجراف المائي والتي تعود إلى الانحدار الشديد، التضاريس المموجة، النشاطات البشرية الكثيفة، الاستثمار غير العقلاني للأراضي الزراعية، التطبيقات الزراعية غير الملائمة إضافة إلى كميات الهطول العالية والتي غالباً ما تكون بشدت قادر على إحداث جريان سطحي وانجراف للتراب، حيث إن وصول نواتج الانجراف إلى حوض السد تلحق به أضراراً كثيرة. إن التنبؤ بخطورة الانجراف الذي يحدث في هذه المنطقة يعد "اما" هاماً "وضرورياً" من أجل وضع استراتيجيات مستقبلية هامة لتخفيض خطورة الانجراف في هذه المنطقة.

هدف البحث :

تحديد درجة خطورة الانجراف المائي في منطقة حوض 16 تشرين باستخدام نموذج CORINE وتقنيات نظم المعلومات الجغرافية واعداد خرائط توضح حجم المشكلة وتوزعها المكاني.

طائق البحث ومواده:

موقع الدراسة: أجريت الدراسة في منطقة حوض سد 16 تشرين على نهر الكبير الشمالي (20 كيلومتر شمال شرق مدينة اللاذقية) موقع جسر خان عطا الله. تبلغ كمية المياه المخزنة في السد 210 مليون متر مكعب مخصصة لإرواء مساحة قدرها 19644 هكتار من الأراضي الزراعية وتأمين كمية 30 مليون متر مكعب لمياه الشرب لقرى المحافظة، يوضح الشكل (1) موقع منطقة الدراسة في محافظة اللاذقية كما يظهر صورة فضائية لمنطقة السد.



شكل (1) أ-موقع حوض سد 16 تشرين بالنسبة للجمهورية العربية السورية
ب-صورة فضائية للبحيرة

البيانات المناخية: تم الحصول عليها من محطة الأرصاد الجوية الواقعة في محافظة اللاذقية كما موضح في الجدول (1)

جدول (1) المعطيات المناخية لمنطقة الدراسة حسب محطة اللاذقية لعام 2011

الشهر	1	2	3	4	5	6	7	8	9	10	11	12	المجموع
كميات المقطول	454.8	170.8	37.3	2.9	22.2	88.7	0.0	57.6	55.6	210.8	190.5	1292.2	
درجات الحرارة	13.26	13.68	15.04	17.91	21.02	24.02	27.45	28.42	26.91	22.11	14.76	13.23	

جمع عينات التربية:

جمعت عينات التربة من عمق 0-10 سم وذلك من 5 نقاط تشكل فيما بينها مغلقاً بريدياً قطره 10 سم منها عينة تربة مركبة، نقلت إلى المختبر، أزيلت الجذور والمخلفات النباتية وجفت هوائياً ونخلت بمنخل قطره 2 ملم للحصول على تربة ناعمة ثم أجريت بعض التحاليل الفيزيائية والكيميائية في مختبر كلية الزراعة بجامعة تشرين وقد شملت التحاليل ما يلي:

- تم التحليل الميكانيكي للترية باستخدام طريقة الهيدرومتر، وتم تحديد القوام باستخدام مثلث القوام حسب التصنيف الأمريكي (USDA).
 - تم قياس الناقلية الكهربائية باستخدام جهاز قياس الناقلية الكهربائية لمستخلص 1:5 (ترية: ماء مقطر).
 - قدرت المادة العضوية بالطريقة اللونية وباستخدام جهاز SPECTROPHOTOMETER
 - قدرت كربونات الكالسيوم الكلية بطريقة المعایرة.
 - تم تقدير السعة التبادلية الكاتيونية عن طريق إشباع الترية بخلات الصوديوم.
 - تم قياس الـ pH لمستخلص 1:5 بواسطة جهاز pH meter.

تم تحديد إحداثيات مكان أخذ العينات باستخدام GPS وأخيراً استخدمت قاعدة البيانات الناتجة في إعداد خريطة باستخدام برنامج Arc GIS 10. يوضح الجدول (2) بعض الخواص الفيزيائية والكيميائية لترسب منطقة الدراسة.

جدول (2) بعض الخواص الفيزيائية والكيميائية للترب المدروسة من العمق (0-10) سم ونوع الغطاء النباتي السائد

نوع الغطاء النباتي	EC ملليموز / سم	pH	CEC 100/م³ غ تربة	O.M %	CaCO ₃ %	% الطين ن	% للسلاط	% المرم ل	نوع القوام	ت
حمضيات	1.3	8.05	22.96	1.96	48.75	42.69	45.15	12.16	سلتانية طينية	1
حمضيات	0.3	8.57	33.15	1.14	46.25	55.27	29.95	14.78	طينية	2
زيتون	0.36	8.26	53.525	6.34	53.75	55.21	23.12	21.67	طينية	3
حمضيات	0.20	8.32	26.36	2.73	40.00	39.11	26.58	34.31	طينية لومية	4
حمضيات	0.30	8.37	23.81	3.47	56.25	47.07	36.40	16.53	طينية	5

+ حمضيات+سرور صبار	0.10	8.61	17.87	1.40	36.25	19.46	8.00	72.54	رمليّة لوميّة	6
زيتون	0.11	8.50	67.11	3.12	57.5	41.91	19.88	39.21	طينيّة	7
+ صبار+سنديان شوكيات	0.23	8.04	46.731	5.00	48.75	47.78	28.27	21.95	طينيّة	8
صنوبر بروتي	0.19	8.32	43.61	4.49	48.75	42.06	37.57	20.37	طينيّة	9
+ سنديان+صنوبر بلوط	0.30	8.29	45.031	5.28	58.75	62.73	26.21	11.06	طينيّة	1 0
+ حمضيات صنوبر ثمرى	0.18	8.47	17.87	3.38	80.00	29.06	37.92	33.02	طينيّة لوميّة	1 1
زيتون كثافة خفيفة	0.20	8.46	48.43	3.26	56.25	55.23	28.69	16.08	طينيّة	1 2
صنوبر بروتي	0.16	8.70	39.94	1.55	66.25	55.23	37.05	7.72	طينيّة	1 3
زيتون	0.12	8.62	21.26	2.02	63.75	34.42	42.06	23.52	طينيّة لوميّة	1 4
حمضيات	0.16	8.41	55.22	2.07	25.00	38.43	17.89	43.68	طينيّة لوميّة	1 5
ارض عارية	0.15	8.76	32.80	3.88	68.75	10.78	55.05	34.17	سلطية+لوميّة	1 6
زيتون	0.23	8.35	16.57	1.97	18.75	40.70	23.25	36.05	طينيّة	1 7
زيتون	0.13	8.93	18.71	1.26	56.25	70.89	22.76	6.35	طينيّة	1 8
زيتون+صنوبر+سـ نديان	0.11	8.52	15.82	1.969	58.75	50.50	17.14	32.36	طينيّة	1 9
تكشفات صحريّة+نباتات جفافية	0.13	8.82	13.51	1.03	71.25	62.54	31.73	5.72	طينيّة	2 0
زيتون	0.17	8.66	11.08	1.57	12.50	28.46	23.08	48.46	رمليّة طينيّة لوميّة	2 1
زيتون+ليمون	0.14	8.62	17.62	1.18	50.00	63.37	28.76	7.87	طينيّة	2 2
+ صنوبر بروتي أشجار حراجية	0.10	8.12	15.24	3.51	22.00	23.02	13.51	63.47	رمليّة طينيّة لوميّة	2 3
صنوبر + اشجار حراجية	0.12	8.40	14.83	2.58	15.00	28.51	15.17	56.32	رمليّة طينيّة لوميّة	2 4

صنبور بروتي +أشجار حراجية	0.07	8.19	16.69	2.120	6.25	26.13	16.91	56.96	رملية طينية لومية	2 5
تفاحيات+تربة محروثة	1.00	8.28	54.40	2.020	65.00	2.64	51.78	45.58	سلتينومية	2 6
+محاصيل حقلية+ زيتون	0.17	8.79	44.36	1.357	1.25	56.81	14.22	28.97	طينية	2 7
حمضيات	0.37	8.42	28.80	3.055	41.00	55.62	26.67	17.71	طينية	2 8
زيتون	0.14	8.72	28.80	1.539	55.00	4.98	81.44	13.58	سلنية	2 9
زيتون+حمضيات	0.60	8.15	8.90	2.747	45.00	5.01	70.49	24.5	سلنية لومية	3 0
حمضيات	0.26	8.53	27.93	1.775	55.00	55.27	36.90	7.83	طينية	3 1
زيتون	0.23	8.47	17.547	2.520	51.25	59.75	31.61	8.64	طينية	2 2

نموذج (CORINE:COoRdination of Information on the Environment): يمكن من خلال

هذا النموذج تحديد خطر الانجراف عن طريق حساب بعض المؤشرات التي تؤثر على الانجراف وهي: مؤشر قابلية التربة للانجراف، مؤشر الحمأة المطري، مؤشر الميل ومؤشر الغطاء النباتي حسب (Aydin *et al.*, 2010) وكالتالي:

مؤشر قابلية التربة للانجراف :Soil Erodibility Index

يتأثر مؤشر قابلية التربة للانجراف بكل من (قوع التربة، عمق التربة والنسبة المئوية للحصى في التربة) حيث يصنف كل من قوام التربة وعمقها في ثلاثة صنوف، أما النسبة المئوية للحصى فتصنف في صفين والجدول (3) يوضح ذلك. يحسب مؤشر قابلية التربة للانجراف من المعادلة التالية:

مؤشر قابلية التربة للانجراف	% الحصى	عمق التربة سم	نوع القوام	الصف
3-0	>10	>75	قليلة الانجراف (طينية - رملية طينية-سلنية طينية)	1
6-3	<10	75-25	متوسطة الانجراف (رمليه طينية لومية-طينية لومية- سلنية طينية لومية- لومية رملية-رمليه)	2
>6		<25	شديدة الانجراف (لومية- سلنية لومية-سلنية لومية-رمليه لومية)	3

مؤشر قابلية التربة للانجراف = صف القوام X صف عمق التربة X صف % للحصى

جدول (3) صنوف كل من نوع القوام، العمق، والنسبة المئوية للحصى، ومؤشر قابلية التربة للانجراف حسب CORINE

مؤشر الحت المطري :Soil Erosivity Index

تم حساب مؤشر الحت المطري بالاعتماد على كل من عامل فورنير (FI:Fournier Index) وباغنولد-كاوسن (BGI:Bagnouls-Gaussens Index) حيث يحسب مؤشر الحت المطري باستخدام العلاقة أدناه:

مؤشر الحت المطري = صف عامل فورنير × صف عامل باغنولد-كاوسن
يحسب عامل فورنير (FI) وفق المعادلة التالية:

$$FI = \sum_{i=1}^{12} \frac{P_i^2}{P}$$

حيث P_i : كمية الهاطول الشهيرية ملم
 P : المجموع السنوي للهاطول المطري ملم

أما عامل باغنولد-كاوسن (BGI) فيحسب وفق المعادلة التالية:

$$BGI = \sum_{i=1}^{12} (2t_i - P_i) K_i$$

حيث t_i : متوسط الحرارة الشهيرية (منوي)

P_i : كمية الهاطول الشهيرية (ملم)

K_i : تحسبي قيمتها عندما تكون $2t_i - P_i > 0$

لقد تم تقسيم عامل FI إلى 5 صفوف وعامل BGI إلى أربعة صفوف، في حين تم تقسيم مؤشر الحت المطري إلى 3 صفوف كما في الجدول التالي:

جدول(4) قيم وصفوف كل من عامل فورنير وعامل باغنولد-كاوسن، ومؤشر الحت المطري حسب نموذج CORINE

مؤشر الحت المطري	BGI	FI	الصف
<4	0	< 60	1
8 - 4	50 - 0	90-60	2
>8	130 - 50	120-90	3
	>130	160-120	4
		>160	5

مؤشر الميل Slope Index

تم تحديد درجة الميل باستخدام النموذج الرقمي لارتفاع DEM وتم تقسيم درجة الميل بالاعتماد على نموذج CORINE إلى 4 صفوف كما في الجدول(5)

جدول (5) قيم وصفوف درجة الميل حسب نموذج CORINE

درجة الميل %	الصف
5 >	1
15-5	2
30-15	3
>30	4

Potential Soil Erosion Risk

تم حساب خطر انجراف التربة المحتمل (الكامن) باستخدام المعادلة التالية:

خطر انجراف التربة المحتمل = صف الميل × صف مؤشر الحت المطري × صف مؤشر قابلية التربة للانجراف

تم تقسيم خطر الانجراف المحتمل الى ثلاثة صفوف منخفض (0-5)، متوسط (5-11) ومرتفع (>11)
الغطاء النباتي Land Cover

تم تقسيم الغطاء النباتي إلى صفين الأول يؤمن حماية كاملة ويشمل (الغابات- المراعي- أعشاب معمرة) والصف الثاني يشكل حماية غير كاملة (الترب البور والترب المحروثة).

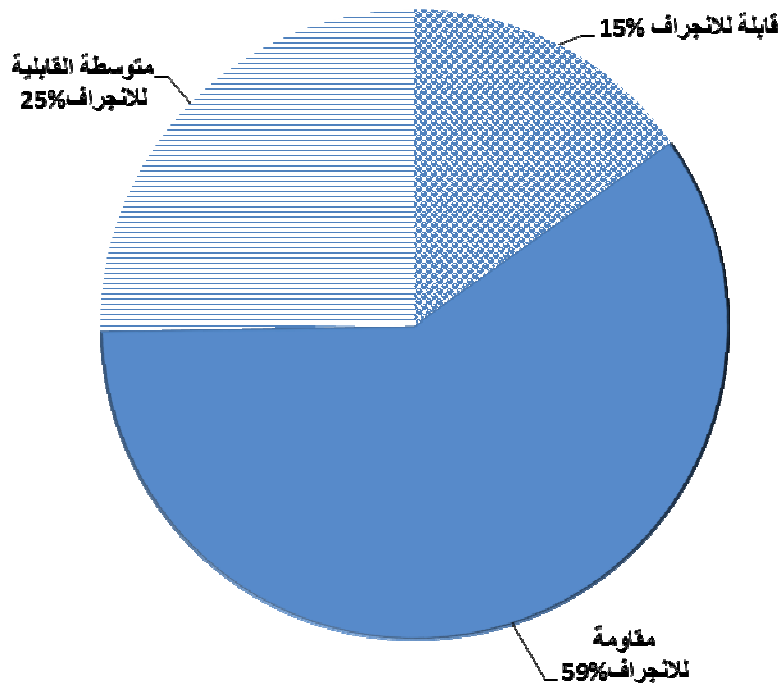
خطر انجراف التربة الفعلي Actual Soil Erosion Risk

حسب خطر الانجراف الفعلي من خلال العلاقة بين خطر الانجراف المحتمل ونوع الغطاء النباتي السائد على سطح التربة، حيث تم حساب خطر الانجراف الفعلي باستخدام المعادلة التالية:

خطر الانجراف الفعلي = صف خطر الانجراف المحتمل × صف الغطاء النباتي
وصنف خطر الانجراف الفعلي إلى ثلاثة صفوف منخفض، متوسط ومرتفع.

النتائج والمناقشة:

يبين الجدول (1) أن ترب المواقع المدروسة تبادلت في قوامها، كما تبادلت في محتواها من المادة العضوية وبالتالي كانت متباعدة في سعتها التبادلية الكاتيونية أما من حيث pH والناقلية الكهربائية فقد كانت متقاربة. ويلاحظ أن 56% من الترب المدروسة طينية، 13% طينية لومية، 13% رملية طينية لومية، 9% سلتينية لومية، 3% سلتينية طينية، 3% سلتينية و 3% رملية لومية. أما تصنيف هذه الترب حسب قابليتها للانجراف من حيث القوام وحسب نموذج كورين يوضحها الشكل رقم (2)



شكل (2) نسب قابلية ترب البحث للانجراف حسب CORINE

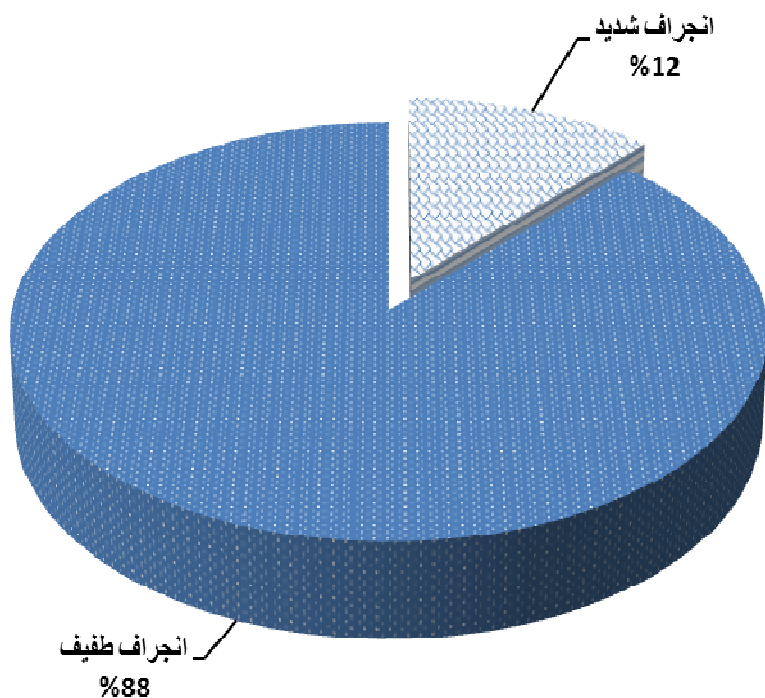
والنتائج تتوافق مع نتائج (Corbane *et al.*, 2008) التي أكدت بأن الترب ذات القوام السلتي والرملني الناعم والطيني أكثر مقاومة للانجراف من الترب الرملية والرملية اللومية واللومية.
أما صفوف المؤشرات التي درست بالاعتماد على نموذج CORINE يوضحها الجدول (6)

الجدول رقم (6) صفوف المؤشرات المدرسوة لموقع الدراسة حسب CORINE

رقم التربة	صف القوام	صف العمق	صف النسبة المئوية للحصى	صف قابلية التربة للانجراف	صف مؤشر الميل	صف خطر المحتمل	صف الغطاء النباتي	صف خطر الواقع	صف خطر الانجراف
1	1	1	2	1	1	1	1	1	1
1	1	1	2	1	1	1	1	1	2
1	1	1	2	1	1	1	1	1	3
2	1	2	2	3	1	1	2	1	4
1	1	1	2	1	1	1	1	1	5
2	1	2	2	2	1	1	3	1	6
2	1	2	2	1	2	1	1	1	7
2	1	2	2	1	1	2	1	1	8

1	1	1	1	1	2	1	1	9
4	2	2	2	1	2	1	1	10
6	2	3	2	2	2	1	2	11
1	1	1	1	1	2	1	1	12
2	2	1	1	1	2	1	1	13
3	1	3	2	3	2	2	2	14
2	1	2	1	3	2	2	2	15
3	1	3	2	2	2	1	3	16
2	2	1	1	1	2	1	1	17
3	1	3	2	2	2	2	1	18
2	1	2	2	1	2	1	1	19
4	2	2	3	1	2	1	1	20
6	2	3	2	2	2	1	2	21
2	2	1	1	1	2	1	1	22
4	2	2	3	1	1	1	2	23
4	2	2	2	1	1	1	2	24
2	2	1	1	1	1	1	2	25
2	1	2	1	2	1	1	3	26
2	1	2	3	1	2	1	1	27
4	2	2	2	1	2	1	1	28
3	1	3	2	2	2	1	3	39
2	1	2	1	2	2	1	3	30
1	1	1	1	1	2	1	1	31
1	1	1	1	1	2	1	1	32

بيّنت الدراسة أن 12% من الترب المدروسة ذات عمق بين 25-70 سم (متوسطة العمق) و88% من الترب ذات عمق أكثر من 75 سم (عميقة) وبالتالي كلما زاد عمق التربة زادت قدرتها على امتصاص ماء المطر وقلّت كمية مياه الجريان السطحي وبالتالي يقل الانجراف (Panda *et al.*, 2005). أما تصنیف الترب ونسبة حساسيتها للانجراف تبعاً لمؤشر العمق وحسب CORINE موضحة في الشكل(3).



شكل (3) نسب قابلية الترب للانجراف حسب عمق التربة بالاعتماد على CORINE

نلاحظ أن 12% من الترب المدروسة كانت النسبة المئوية للحصى فيها أكثر من 10% والباقي منها ذات النسبة المئوية للحصى أقل من 10%. إن وجود الحصى فوق سطح التربة يمكن أن يلعب كعامل حماية للتربة من فعل قطرات المطر لكن بعد بدء عملية الجريان السطحي وجود الحصى فوق سطح التربة يلعب دوراً معاكساً ويسبب الانجراف الجدولي بسبب الدوامات المائية (Yuksel *et al.*, 2008).

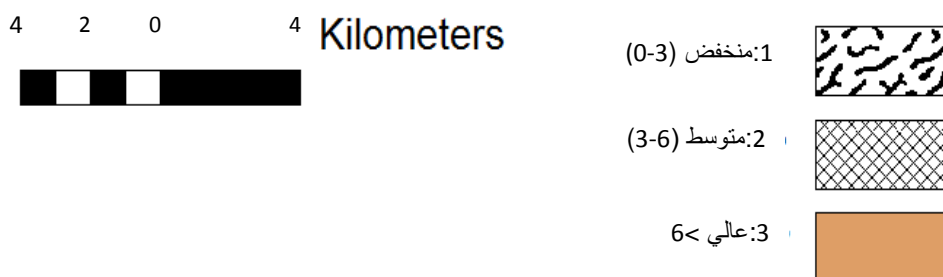
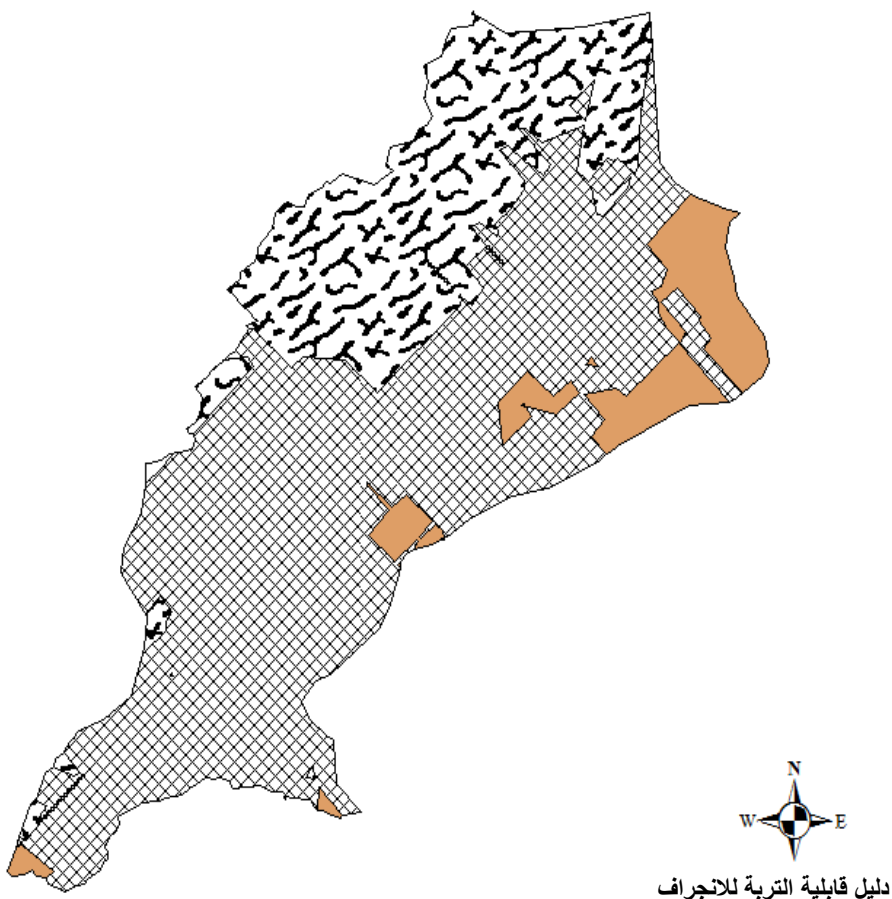
أما تصنیف الترب من حيث حماية الحصى للتربة بالاعتماد على مؤشر النسبة المئوية للحصى وحسب كورین (4) يبيّنها الشكل

:



شكل (4) أصناف الترب حسب النسبة المئوية للحصى ونسب حمايتها للترابة حسب CORINE

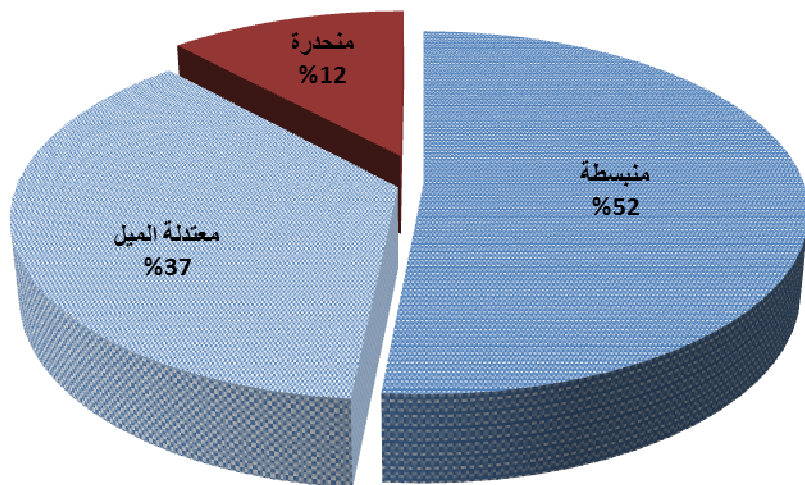
اعدت خريطة مؤشر قابلية التربة للانجراف Soil erodibility من حاصل ضرب صفوف كل من (قوام التربة، عمق التربة والنسبة المئوية للحصى) والشكل التالي يوضح مؤشر قابلية التربة للانجراف لمنطقة الدراسة.



الشكل(5) خريطة مؤشر قابلية الترب للانجراف(Soil Erodibility) لمنطقة الدراسة

يتضح من الشكل أن 26.79% من مساحة الأراضي المدروسة كان مؤشر قابليتها للانجراف يقع ضمن الصف الأول قيمة مؤشر قابلية التربة للانجراف تتراوح بين (0-3)، ذات قابلية قليلة للانجراف و 64.34% من المساحة المدروسة مؤشر قابلية انجرافها ذات قيمة تتراوح بين (3-6) وهي تقع ضمن الصف الثاني أي مؤشر قابليتها للانجراف متوسط أما النسبة الباقية فكانت ذات قابلية عالية للانجراف تقع ضمن الصف الثالث حيث قيمة مؤشر قابلية التربة للانجراف اكبر من 6 حيث بلغت نسبتها 8.87% من مساحة منطقة الدراسة.

أما بالنسبة لدرجة الميل نلاحظ أن حوالي 52% من الموقع المدروسة ذات ميل أقل من 0.5% و 37% منها ذات ميل (5-15)% في حين كانت نسبة 11% من العينات ذات ميل (15-30)% أما تصنيفها حسب CORINE يوضحها الشكل التالي:

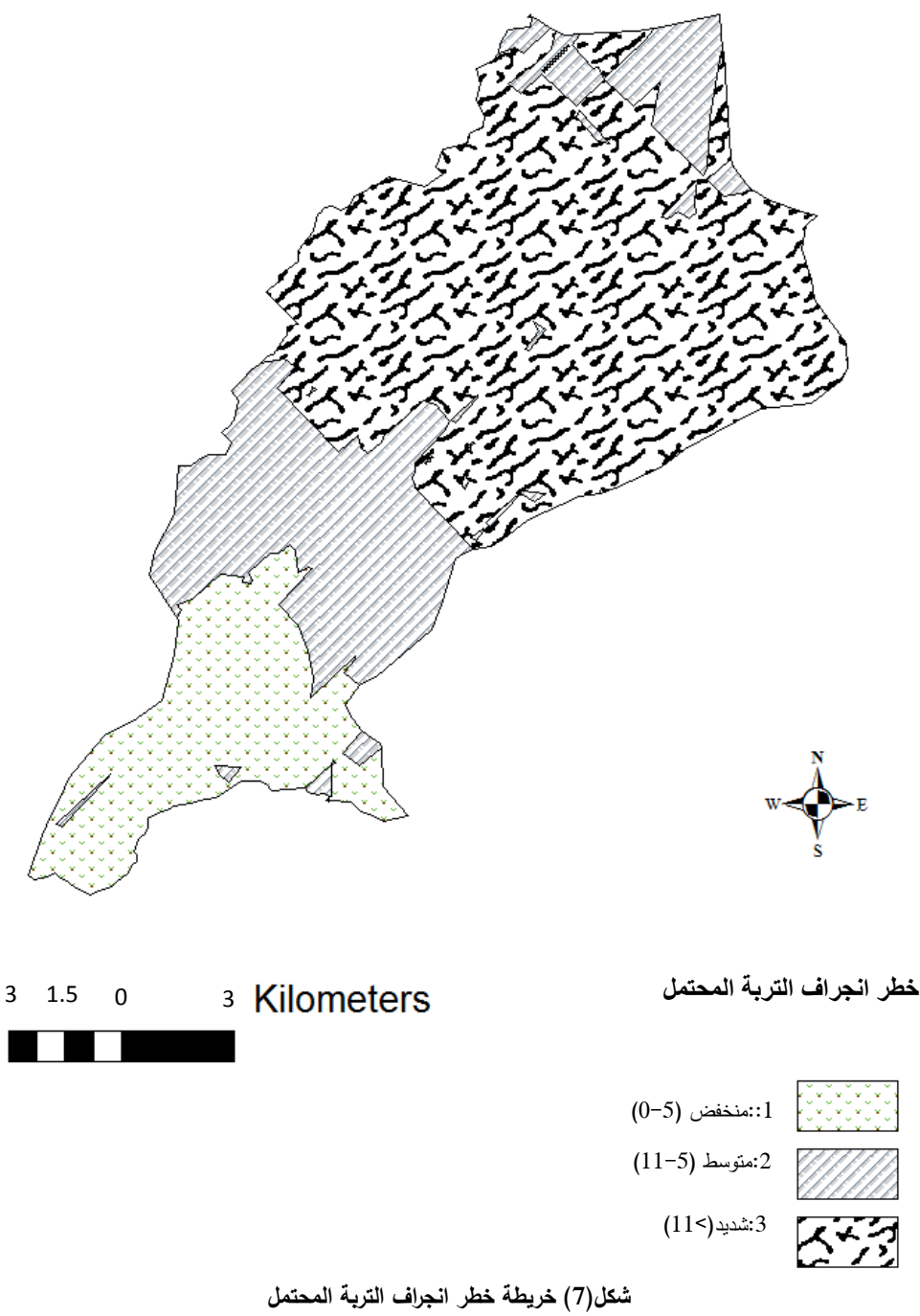


شكل (6) نسب أصناف ميل الموقع المدروسة حسب CORINE

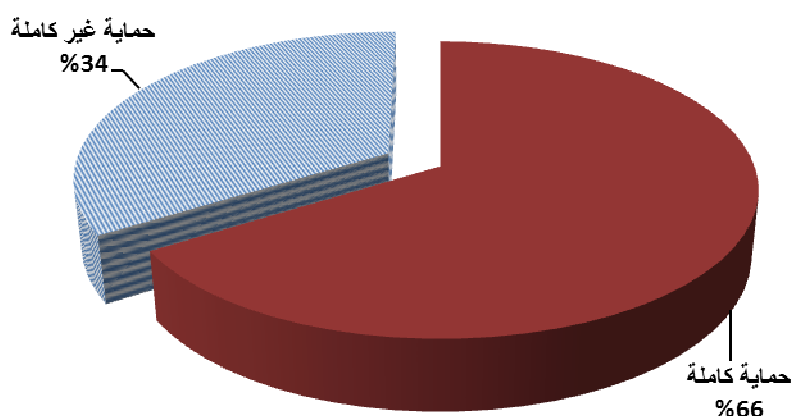
حسب مؤشر الحت المطري بالاعتماد على المعطيات المناخية والمتمثلة بكل من درجة الحرارة والامطار الواردة في الجدول (1).

من معطيات المحطة المناخية لمنطقة الدراسة نلاحظ إن قيمة مؤشر فورنير تساوي 257.83 وتقع في الصف الخامس أما مؤشر باغنولد-كاوسن فقيمه 164.5 تقع ضمن الصف الرابع وبالتالي قيمة مؤشر الحت المطري تساوي 20 وهي ضمن الصف الثالث أي مؤشر الحت المطري مرتفع.

حسب خطر الانجراف المحتمل في منطقة الدراسة في كل موقع من ضرب صاف مؤشر الحت المطري مع صاف مؤشر قابلية التربة لانجراف مع صاف الميل والقيم التي تم الحصول عليها صنفت حسب CORINE وتم استخدام إحداثيات الموقع المأخوذة باستخدام GPS وأنشأت خريطة خطر الانجراف المحتمل للتربة والشكل (7) يبين ذلك



بالنسبة للغطاء النباتي على اعتبار أنه يلعب دوراً في التخفيف من حدة التصادم بين قطرات المطر وسطح التربة ويخفف من معدل الجريان السطحي فوق التربة ويساعد معدل الارتشاح (Saavedra & Mannaerts., 2005) لذا فإن الاعتماد على الغطاء النباتي أساسى من أجل نماذج انجراف التربة. أشارت الدراسة إلى أن 66% من المواقع المدروسة ذات حماية تامة (غابة صنوبر - غطاء عشبي كثيف - غابة سنديان) والنسبة الباقية 34% ذات حماية غير كاملة (حمضيات ريزيون - مناطق بائرة ترب محروثة بقصد الزراعة) كما هو واضح في شكل (8).



شكل رقم (8) نسب الحماية التي يحققها الغطاء النباتي في منطقة الدراسة حسب CORINE

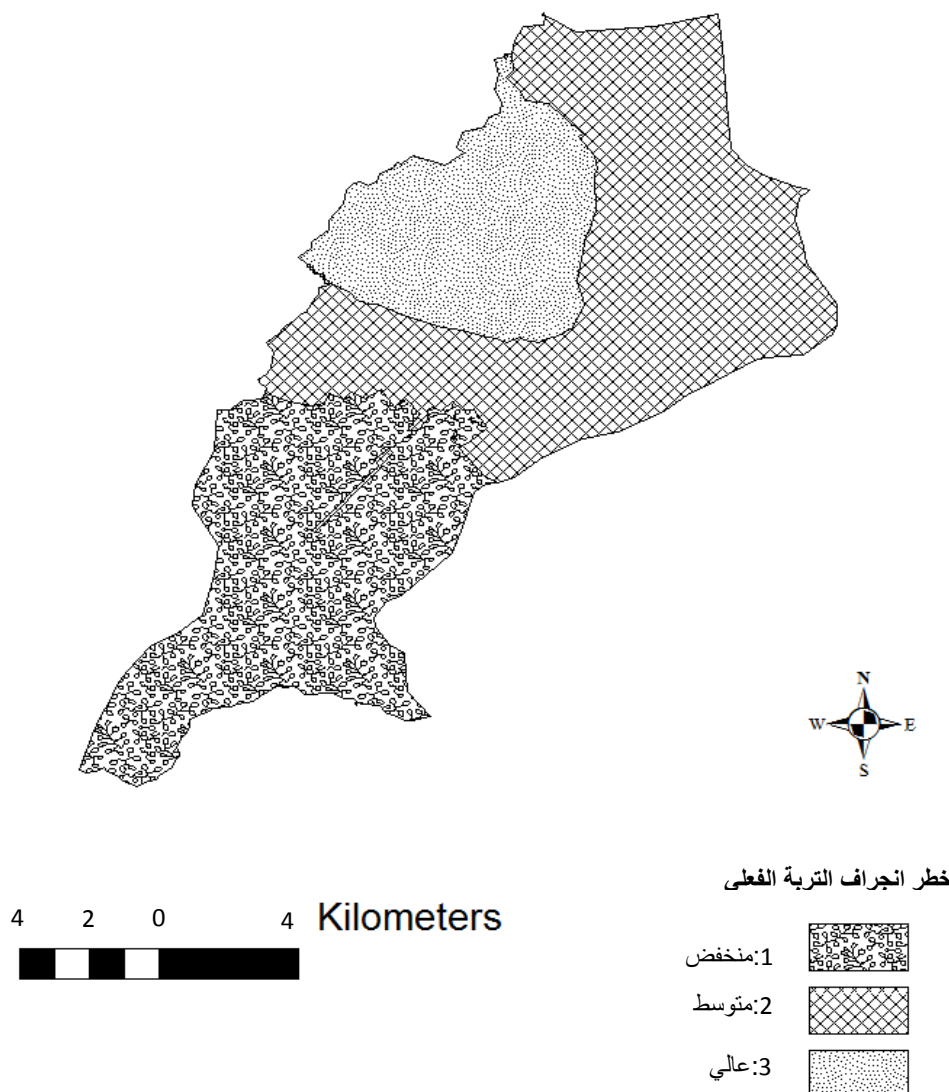
أنشئت خريطة خطر الانجراف الفعلي من حاصل ضرب صفات الغطاء النباتي وصف خطر الانجراف المحتمل والشكل التالي يبين مساحات الاراضي مصنفة حسب خطورة الانجراف الفعلي.

نلاحظ من الشكل(9) والجدول(7) أن النسبة المئوية لخطر الانجراف المحتمل قد بلغت (57.62,25.03,17.35) % للصفوف منخفض، متوسط وشديد على التوالي من مساحة منطقة الدراسة، في حين بلغت النسبة المئوية لخطر الانجراف الفعلي (33.63,46.15,33.87) % للصفوف منخفض، متوسط وشديد على التوالي من المساحة المدروسة. الاختلاف بين خطر الانجراف المحتمل وخطر الانجراف الفعلي يشير إلى دور الغطاء النباتي في حماية التربة من الانجراف. إن إدخال مؤشر الغطاء النباتي عمل على تخفيض نسبة المواقع التي امتنعت بخطر انجراف محتمل عالٍ إلى أكثر من النصف وذلك لأن الغطاء النباتي يزيد من مقاومة التربة للانجراف (Pouyat et al,2007)

أي تحديد خطورة الانجراف دون إدخال مؤشر الغطاء النباتي يمكن أن تعطي فكرة عن احتمال حدوث انجراف للتربة في حال غياب الغطاء النباتي أما لتحديد خطر الانجراف الفعلي لابد من إدخال مؤشر الغطاء النباتي. والجدول (7) يشير إلى المساحات والنسب التي يشغلها كل صفات من صفوف مؤشر قابلية التربة للانجراف وخطر الانجراف المحتمل والفعلي بعد إدخال مؤشر الغطاء النباتي.

جدول(7) المساحات والنسب التي يشغلها كل صفات من صفوف مؤشر قابلية التربة للانجراف وخطر الانجراف المحتمل والفعال

خطر الانجراف الفعلي		خطر الانجراف المحتمل		مؤشر قابلية التربة للانجراف		الصف
%	المساحة(كم ²)	%	المساحة(كم ²)	%	المساحة(كم ²)	
33.87	57.01	17.35	29.21	33.87	57.01	(منخفض):1
46.15	77.69	25.03	42.14	46.15	77.69	(متوسط):2
19.98	33.63	57.62	96.98	19.98	33.63	(شديد):3
100	168.33	100	168.33	100	168.33	المجموع



شكل (9) خريطة خطر انجراف التربة الفعلى

الاستنتاجات والتوصيات:

أشارت الدراسة إلى أن استخدام تقنيات نظم المعلومات الجغرافية لوضع خريطة خطر انجراف بالاعتماد على نموذج CORINE هي طريقة فعالة ودقيقة لتقدير خطر انجراف التربة خلال زمن قصير وبكلفة قليلة. رغم أن النموذج لا يقدر كمية التربة المفقودة وكمية الرؤوساب الوائلة إلى قاع السد لكنه يمكننا من وضع خريطة لخطر انجراف التربة بهدف التخطيط لصيانة التربة كما أن النموذج يزودنا بعلامات مميزة عن خطر انجراف التربة من أجل تطوير صيانة التربة والمياه ومن ثم إجراء دراسات تفصيلية بالنسبة للمساحات التي تتميز بخطر انجراف عالي.

ونوصي بمتابعة الدراسة على مناطق أخرى متباينة بأثريتها وبنوع الغطاء النباتي وباستخدام نموذج كورين.

المراجع :

- 1-AYDIN, A., HU SEYIN, B.TECIMEN., *Temporal soil erosion risk evaluation: a CORINE methodology application at Elmali dam watershed, Istanbul.* Environ Earth. Environ Earth Sci,61:2010, 1457–1465.
- 2-BEN-HUR ,M. *Soil conditioner Effects on Runoff and Potato Yield under Sprinkler Irrigation .* Agronomy Journal . 93: 2001,1156-1163.
- 3-CORBANE C., D. RACLOT, F. JACOB. , J. ALBERGEL, P. ANDRIEUX.,*Remote sensing of soil surface characteristics from a multiscale classification approach.* Catena,Vol.,75:2008,308–318
- 4-DONGLI, SHE, SHAO MING'AN, HU WEI& YU SHUANG'EN, *Variability of soil water-physical properties in a small catchment of the Loess Plateau, China,* African Journal of Agricultural Research 5(22), 2010,3041-3049.
- 5-FIENER,AUERSWALD,*Rotation Effect of Potato,Maize, and Wheat on Soil Erosion by Water.* Soil Sci.Soc.AJ 71: 2007,1919-1925
- 6-MULDERR .V.L., S. DE BRUIN ., M.E. SCHAEPMAN .,T.R. MAYRTHE *Use of remote sensing in soil and terrain mapping — A review.* GEODER-10649: 2011, 1-19.
- 7-PANDA,S.S., H. ANDRJANASOLO, D. D. STEELE., *APPLICATION OF GEOTECHNOLOGY TO WATERSHED SOIL CONSERVATION PLANNING AT THE FIELD SCALE .*The Electronic Journal of the International Association for Environmental HydrologyOn the World Wide 13:2005,1-22.
- 8-POUYAT R.,YESILONIS,D,RUSSELL,J,& NEERCHAL,K, *Soil Chemical and Physical properties That Differentiate Urban Land –Use cover Types,* SSSA j ,71: 2007 1010-1019.
- 9-SAAVEDRA., C., C. M. MANNAERTS, *Estimating erosion in Andean catchment combining coarse and fine spatial resolution satellite imagery.* 31st International Symposium on Remote Sensing of Environment,June 20-24, 2005, Saint Petersburg, Russian Federation.
- 10-SCHIETTECATTE,GABRIELS,CORNELIS.& HOFMAN, *Enrichment of Organic Carbon in Sediment Transport by Interrill and Rill Erosion processes.* SSSAj 72:2007 50-55.
- 11-TINGTING, LV.,SUN XIAOYUA, ZHANG, DANDANA, XUE ZHENSHANA & GONG JIANMINGA, *Assessment of Soil Erosion risk in northern Thailand .The International Archives of the Photogrammetry, Remote Sensing and Spatial Information Sciences.* Vol. XXXVII. Part B8:2008,703-708.
- 12-VAN ROMPAEY ANTON J.J., PAOLO BAZZOFFI ROBERT J.A. JONES, MONTANARELAa L., GOYERS G.,*Validation of Soil erosion Risk Assessment in ITALY.* European Soil Bureau Research Report No.12, EUR 20676 EN:2003, 25.
- 13- WAVER R., E. NOWOCIEN.*Digital Map of Water Erosion Risk in Poland:A Qualitative, Vector-Based Approach.* Polish J. of Environ. Stud. 16, No. 5: 2007,763-772.
- 14- YUKSEL, ALAADDIN.,GUNDOGAN R., E. AKAY A., *Using the Remote Sensing and GIS Technology for Erosion Risk Mapping of Kartalkaya Dam Watershed in Kahramanmaraş, Turkey.* Sensors J., 8, 2008,4851-4865.